

I-490

不規則外力を受ける弾性ばりの最適動吸振器の設計

建設省 正員○松永鉄治 長崎大学工学部 正員 岡林 隆敏
長崎大学大学院 学生員 奥松俊博 長崎大学工学部 正員 小西 保則

1.はじめに

構造物の振動を軽減する技術として、動吸振器が知られている。動吸振器の設計の理論⁽¹⁾は、早くから確立しているが、外力として調和振動を対象としたものである。しかし、実際の土木・建築構造物に作用する外力は、不規則な外力が多く、従来の動吸振器では十分に対応できない点がある。

本論文は、任意の自己相関関数を有する不規則外力が作用する構造系の、応答の分散を最小にする動吸振器の最適パラメータを決定する手法を提案するものである。最適化手法⁽²⁾には、DFP(Davidon-Fletcher-Powell)法を適用した。数値解析では、外力が白色雑音過程と狭帯域過程について考え、構造系と動吸振器の重量比および外力のパワースペクトル密度が、最適動吸振器のパラメータに及ぼす影響を検討した。

2. 不規則外力を受ける構造-動吸振器と荷重系の方程式

モード解析法により、 x 点のはりの変位は、次式で与えられる。

$$y(x, t) = \sum_{i=1}^n \phi_i(x) q_i(t) \quad (1)$$

ここに、 $\phi_i(x)$ ： i 次振動モード、 $q_i(t)$ ： i 次規準座標である。 $x = b$ 点に不規則外力 $f(t)$ が作用し、 $x = a_k$ 点に m 個の動吸振器を取り付けたはりの方程式は、次式で表すことができる。

$$\ddot{q}_i(t) + 2 h_i \omega_i \dot{q}_i(t) + \omega_i^2 q_i(t) = - \sum_{k=1}^n \frac{m_k}{M_i} \ddot{Z}_k(t) \phi(a_k) + \frac{1}{M_i} f(t) \phi(b) \quad (2)$$

$$\ddot{d}_k(t) + 2 h_{dk} \omega_{dk} (\ddot{d}_k(t) - \dot{y}(a_k, t)) + \omega_{dk}^2 (d_k(t) - y(a_k, t)) = 0 \quad (3)$$

ここに、 $d_k(t)$ ：動吸振器の変位、 ω_i, ω_{dk} ： i 次振動のはりと動吸振器の固有振動数、 h_i, h_{dk} ： i 次振動のはりと動吸振器の減衰定数、 M_i ：はりの i 次の有効質量である。

任意の相関を有する不規則外力は、白色雑音過程を入力とする構造系により表現することができる。

$$\left. \begin{aligned} f(t) &= C^T Z(t) \\ \dot{Z}(t) &= A_Z Z(t) + N_Z(t) \end{aligned} \right\} \quad (4)$$

ここに、 $N_Z(t)$ は平均値 0 の白色雑音過程である。

3. 系の状態空間表示と共分散方程式

構造系と動吸振器の変数を、状態空間表示する。

$$\left. \begin{aligned} Q(t) &= [q_1 \dot{q}_1 \cdots q_n \dot{q}_n]^T \\ d(t) &= [d_1 \dot{d}_1 \cdots d_m \dot{d}_m]^T \end{aligned} \right\} \quad (5)$$

ここで、構造-動吸振器-荷重系を合成した変数

$$X(t) = [Q(t)^T \ d(t)^T \ Z(t)^T]^T \quad (6)$$

で表すと、(2)(3)(4)(5)式より系は、次の伊藤方程式で表現される。

$$dX(t) = AxX(t)dt + dW_x(t) \quad (7)$$

ここに、 $W_x(t)$ は平均値 0 の Wiener の過程であり、

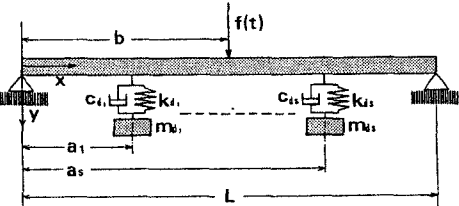


図-1 構造-動吸振器系

$$E[dW_x(t) dW_x^T(t)] = Q_x dt \quad (8)$$

共分散は上式となる。

$X(t)$ の共分散を $R_X(t) = E[X(t) X(t)^T]$ で表すと、共分散の時間的变化は、共分散方程式

$$\dot{R}_X(t) = A_X R_X(t) + R_X(t) A_X^T + Q_X \quad (9)$$

で与えられる。 $t \rightarrow \infty$ における定常状態では、(9)式の解は、連立方程式

$$A_X R_X(t) + R_X(t) A_X^T + Q_X = 0 \quad (10)$$

より求められる。構造系の応答の分散は、 R_X の要素として得られる。本研究では、非定常応答の最大値の推定量として、定常応答を考えている。

4. 最適問題への定式化

不規則外力が作用するはりにおいて、動吸振器のパラメータ、振動数、減衰定数、重量、設置位置等をパラメータにして、変位応答の分散 σ_y^2 を最小

にする β を求める。本研究では、これを制約条件のない非線形計画問題に定式化する。最適手法には、DFP法を用いた。

k 回目の探索により求められるパラメータを β^k とする。

$\sigma_{\tau}^2(\beta^k)$ と $\partial(\sigma_{\tau}^2(\beta^k))/\partial \beta^k$ を次式で求める。

$$A_x(\beta^k)R_{x^k} + R_{x^k}A_x(\beta^k) + Q_x(\beta^k) = 0 \quad \dots \dots \dots \quad (11)$$

$$\begin{aligned} & \mathbf{A}_X(\boldsymbol{\beta}^k) \left(\frac{\partial}{\partial \boldsymbol{\beta}_{s^k}} \mathbf{R}_X \right) + \left(\frac{\partial}{\partial \boldsymbol{\beta}_{s^k}} \mathbf{R}_X \right) \mathbf{A}_X(\boldsymbol{\beta}^k) \\ &= - \frac{\partial}{\partial \boldsymbol{\beta}_{s^k}} \mathbf{A}_X(\boldsymbol{\beta}^k) \mathbf{R}_X - \mathbf{R}_X \frac{\partial}{\partial \boldsymbol{\beta}_{s^k}} \mathbf{A}_X(\boldsymbol{\beta}^k) \quad \dots \dots \dots (12) \end{aligned}$$

探索方向を次式で決定する。

Hesse行列の更新式として、DFP法を適用する。

が最小になる α の値を、3次補間多項式法で求める。この α を用いて β^* を更新する。

この操作を繰り返すことにより、

となる動吸振器のパラメータ β を決定する。

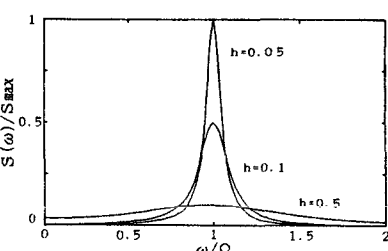
5. 数値解析と考察

数値解析例では、図-1のようにはりに動吸振器が1個設置した場合を考える。外力としては、白色雑音過程と次式の

のような自己相関関数を有する確率過程を考える。

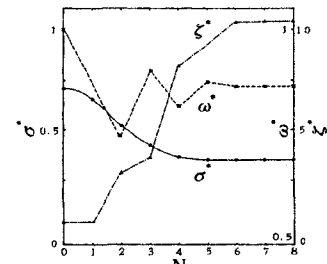
図-2は、外力が白色雑音の場合の、最適パラメータの収束の状態を示したものである。繰り返し回数は8回程度で収束する。図-3は、橋梁と動吸振器の重量比を変化させて、動吸振器の最適パラメータを求めたものである。

この結果は、従来の調和外力による動吸振器の最適値と良く一致する。図-4は、従来の最適動吸振器を設置したはりと、本法による系の変位応答のパワースペクトルを示したものである。両者はよい一致を示している。



次に挾帯域過程入力による動吸振器の最適設計を行なった。図-6は(17)式で、 $\beta = h\Omega$ としたとき、 h を変化させた場合のパワースペクトル密度である。図-7に、スペクトルパラメータ h を変化させたときの、はりの最適応答を示した。 $h \rightarrow 0$ で白色雑音過程、 $h \gg 1$ で挾帯域過程になる。外力が挾帯域過程の極限が語る。よく知られているように、同調すると、応答はほぼ0になる。

[参考文献] (1) 松平精：基礎振動学、現代工学社
(2) 町田東一：他：FORTRAN応用数値計算、東海大学出版会



取束状况

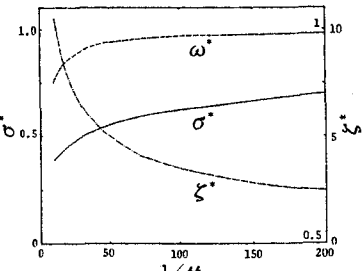


図-3 重量比によるパラメータ変化

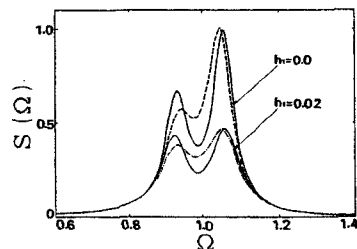


図-4 最適系のパワースペクトル密度

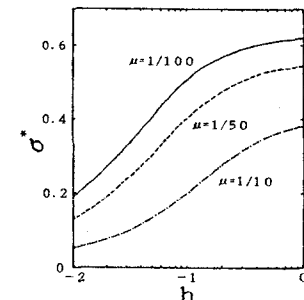


図-7 スペクトルパラメータによる応答の変化